

ПАРАМЕТРИЧЕСКОЕ УСИЛЕНИЕ ОБЪЕМНЫХ И ПОВЕРХНОСТНЫХ ЭЛЕКТРОМАГНИТНЫХ ВОЛН В ТОНКОМ СЛОЕ ПОЛУПРОВОДНИКОВОЙ СВЕРХРЕШЕТКИ

Дряхлушин В. Ф.

В работе исследован параметрический распад электромагнитной волны p -поляризации, падающей из диэлектрика на тонкий слой квантовой полупроводниковой сверхрешетки (СР) толщиной

$$L \ll |\delta|, \quad (1)$$

на поверхностную и отраженную электромагнитные волны, т. е. распад типа $2\pi\omega_1 = \omega_2 + \omega_3$ (δ — глубина проникновения волн в СР, $\omega_{1,2,3}$ — частоты падающей, отраженной и поверхностной волн, $n=1,2,\dots$). Рассмотрена геометрия, когда ось СР перпендикулярна ее границе. Особенностью задачи является то, что СР под действием сильного гармонического электрического поля становится сильно нелинейной активной средой даже в отсутствие постоянных токов в ней [1]. Падающая волна (волна накачки) выполняет две функции — обуславливает параметрическую связь между волнами и является источником неравновесности системы. Это приводит к специфическим проявлениям нелинейных и параметрических процессов в СР [2, 3].

Толщина создаваемых в настоящее время СР, как правило, меньше или порядка длины распространяющейся в ней волны. В таких структурах появляются новые моды волн (в частности, поверхностные волны) и новые возможности их усиления. Кроме того, здесь волна накачки, распространяющаяся в диэлектрике, является незатухающей, что облегчает условия распада.

В работе получены общие соотношения, определяющие распадную неустойчивость падающей электромагнитной волны на отраженную и поверхностную волны. Найдены границы областей усиления волн, зависимости их инкрементов от амплитуды падающей волны, частотные характеристики. Показано, что имеет место ярко выраженный супергетеродинный перенос линейного инкремента с поверхностной волны на отраженную (у несвязанных волн пространственный линейный инкремент поверхностной волны, как правило, значительно больше, чем объемной [4]).

Распространение волн в СР определяется компонентами тензора диэлектрической проницаемости

$$\epsilon_{\perp}^{(2,3)} \equiv \epsilon_{\perp}(\omega_{2,3}) = \epsilon_0 - \frac{\omega_{0\perp}^2}{\omega_{2,3}(\omega_{2,3} + i\nu)},$$

$$\epsilon_{\parallel}^{(2,3)} \equiv \epsilon_{\parallel}(\omega_{2,3}, \omega_1, |E_{Tz}|) = \epsilon_0 - \frac{\omega_{0\parallel}^2 \nu}{\omega_{2,3}} \sum_{N=-\infty}^{+\infty} \frac{J_N^2\left(\frac{\Omega}{\omega_1}\right)}{(\nu + iN\omega_1)(\omega_{2,3} - iN\omega_1 + i\nu)} \quad (2)$$

(выражение для $\epsilon_{\parallel}^{(2,3)}$ получено и исследовано в [5]). Здесь $\epsilon_{\parallel}^{(2,3)}$, $\epsilon_{\perp}^{(2,3)}$, $\omega_{0\parallel}$, $\omega_{0\perp}$ — компоненты тензора и плазменные частоты вдоль и поперек оси СР, ϵ_0 — диэлектрическая проницаемость кристаллической решетки, ν — частота столкновений, $\Omega = e |E_{Tz}| d/\hbar$ — частота Ванье—Штарка, d — период СР, $J_N(x)$ — функции Бесселя, E_{Tz} — нормальная к границам слоя компонента электрического поля падающей волны в СР, связанная при выполнении (1) с амплитудой поля p -волны в диэлектрике (H_0) уравнением

$$E_{Tz} = \frac{\sqrt{\epsilon_{\perp}} H_0 \sin \theta}{\epsilon^{\frac{1}{2}}(\omega_1, |E_{Tz}|)}, \quad \tilde{\epsilon}(\omega_1, |E_{Tz}|) = \epsilon_0 - \frac{2\omega_{0\parallel}^2 \nu}{\Omega\omega_1} \sum_{N=-\infty}^{+\infty} \frac{J_N\left(\frac{\Omega}{\omega_1}\right) J_{N+1}\left(\frac{\Omega}{\omega_1}\right)}{\nu + iN\omega_1} \quad (3)$$

[электромагнитная волна падает в плоскости (xz) под углом θ к поверхности СР]. Для простоты положено $\epsilon_0 = \epsilon_d$ (диэлектрической проницаемости диэлектрика).

При решении задачи вследствие сильной анизотропии нелинейных свойств СР мы пренебрегаем j_{NLx} и j_{NLy} — компонентами нелинейного электрического тока, но учитываем без разложения по степеням электрического поля компо-

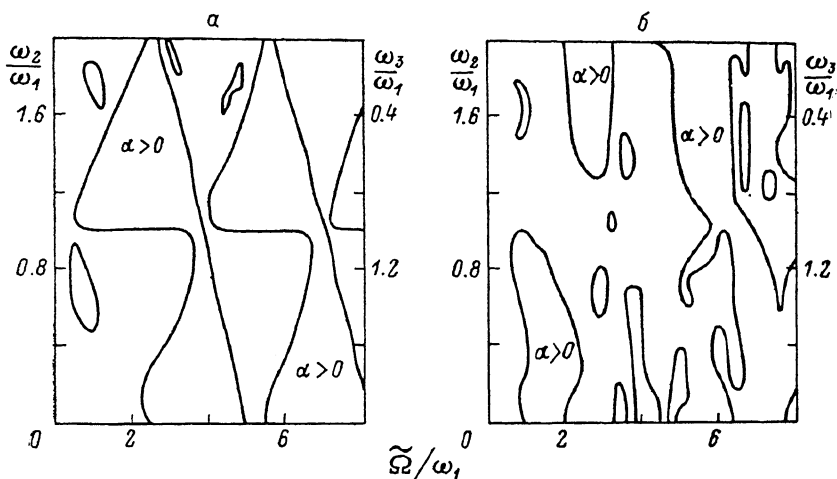


Рис. 1. Области параметрического усиления волн ($\alpha > 0$) процесса распада $2\omega_1 = \omega_2 + \omega_3$. Параметры: $\omega_0^2/\omega_1^2\varepsilon_0 = 0.8$; $\omega_1 L\sqrt{\varepsilon_0}/c = 0.1$; $\vartheta = \pi/4$; $\alpha - \omega_1/v = 10$, $\beta - \omega_1/v = 1$.

ненту j_{NLz} . Нелинейный ток, возбуждаемый в СР и определяющий нарастание отраженной и поверхностной волн, равен

$$j_{NLz} = \sigma_{2,3} \left(\frac{E_{Tx}}{|E_{Tx}|} \right)^* E_{3,2}^*,$$

$$\sigma_{2,3} \equiv \sigma(\omega_{2,3}, n, |E_{Tx}|) = \frac{i\omega_{\delta 11}^2 v}{4\pi} \sum_{N=-\infty}^{+\infty} \frac{J_N\left(\frac{Q}{\omega_1}\right) J_{N+2n}\left(\frac{Q}{\omega_1}\right)}{(v + iN\omega_1) [\omega_{2,3} - (N + 2n)\omega_1 + i\nu]}. \quad (4)$$

Решая уравнения Максвелла с нелинейным током (4) в СР и в диэлектриках и сшивая решение на границах (считая непрерывными E_τ и H_τ , так как нели-

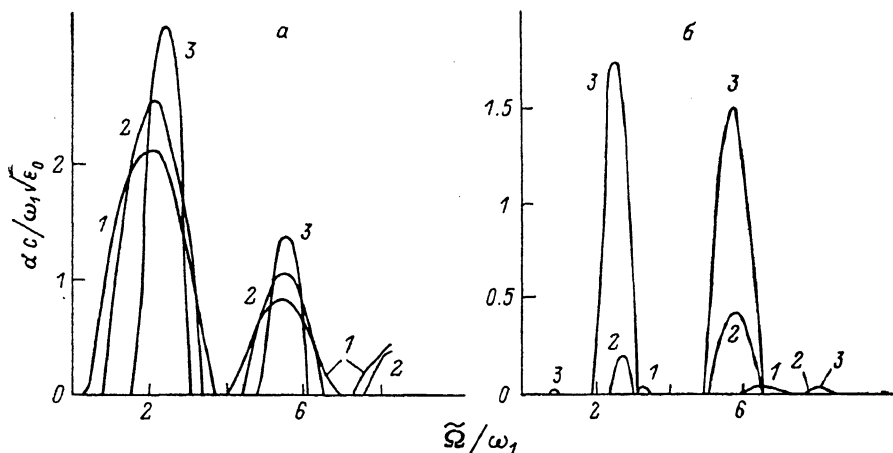


Рис. 2. Зависимость инкремента волн от амплитуды поля накачки для структуры с параметрами рис. 1.

ω_2/ω_1 : 1 — 1.65; 2 — 1.35; 3 — 1.65. ω_1/v : а — 10, б — 1.

нейные поверхностные токи отсутствуют), получим уравнения для медленно меняющихся амплитуд волн

$$\frac{\partial A_{2,3}}{\partial x} = \frac{4\pi i k_{2,3} k_3^* (2nk_{1x} - k_3^*, 2x) L\varepsilon_0 \sigma_{2,3}}{\omega_{2,3} k_{2,3} \varepsilon_{\parallel}^{(2,3)} \varepsilon_{\perp}^{(2,3)*}} A_{3,2}^*. \quad (5)$$

Здесь $k_{2, 3x}, k'_{2, 3x}$ — компоненты волновых векторов отраженной и поверхностной волн вдоль и поперек направления их распространения, определяемые из решения дисперсионного уравнения в такой структуре [4]. Из (5) легко найти инкремент связанных поверхностной и отраженной волн, который определяет линейную стадию распадной неустойчивости:

$$\alpha = \text{Re} \{ \beta^* (\omega_2) \beta (\omega_3) + 1/4 [k''_{2x} - k''_{3x} - i(2nk_{1x} - k'_{1x} - k'_{3x})^2] \}^{1/2} - 1/2 (k''_{2x} + k''_{3x}), \quad (6)$$

где

$$\beta (\omega_{2, 3}) = \frac{2\pi i k_{3, 2x}^* k_{2, 3x} (2nk_{1x} - k_{3, 2x}^*) \epsilon_0 L}{\omega_{2, 3} k_{2, 3x} \epsilon_{\parallel}^{(2, 3)} \epsilon_{\parallel}^{(3, 2)*}} \mathcal{J}_{2, 3}, \quad (7)$$

$k'_{2, 3x}, k''_{2, 3x}$ — действительные и мнимые части волновых векторов. Формулы (5) и (6) определяют параметрическое усиление возбуждаемых волн.

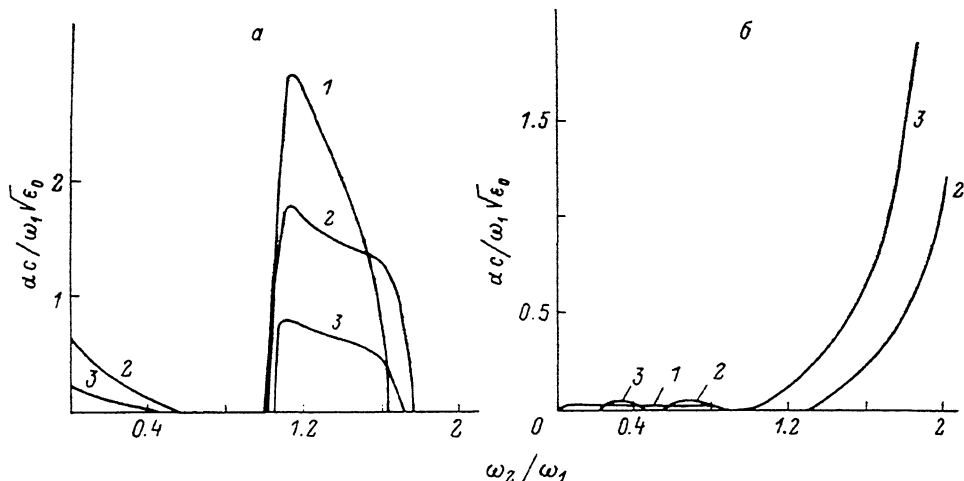


Рис. 3. Зависимость инкремента волн от их частоты для структуры с параметрами рис. 1. ω_1/v : 1 — 1.5; 2 — 2.9; 3 — 6. ω_1/v : а — 10, б — 1.

Приведем результаты количественных расчетов для процесса распада $2\omega_1 = \omega_2 + \omega_3$ (т. е. $n=1$). Области параметрического усиления волн ($\alpha > 0$) приведены на рис. 1. На рис. 2 и 3 показаны зависимости инкрементов параметрически возбуждаемых волн от амплитуды падающей волны $[\tilde{Q} = (eH_0 d / \hbar \sqrt{\epsilon_0}) \sin \theta]$ и частотные характеристики. Отметим, что в областях, где выполняется условие отрицательной динамической проводимости для поверхностных волн, инкремент довольно большой ($\alpha c / \omega_1 \sqrt{\epsilon_0} \sim 1$), вне этих областей он значительно меньше ($\alpha c / \omega_1 \sqrt{\epsilon_0} \sim 10^{-4} \div 10^{-6}$). Инкремент связанных волн в основном обусловлен линейным инкрементом поверхностной волны, т. е. имеет место супергетеродинный перенос инкремента с поверхностной волны на отраженную. С увеличением концентрации носителей заряда в СР либо с уменьшением ее толщины инкременты волн возрастают, что связано с большей концентрацией энергии поверхностной волны в СР, т. е. в активной среде. Из приведенных рисунков несложно оценить, что параметрическое усиление волн наиболее эффективно будет идти в миллиметровом и субмиллиметровом диапазонах длин волн.

Список литературы

- [1] Романов Ю. А. // Многослойные полупроводниковые структуры и сверхрешетки. Горький, 1984. С. 63—77.
- [2] Романов Ю. А. // Изв. вузов СССР. Радиофизика. 1980. Т. 23. В. 5. С. 617—625.
- [3] Белянцев А. М., Орлов Л. К., Романов Ю. А., Шашкин В. И. // Многослойные полупроводниковые структуры и сверхрешетки. Горький, 1984. С. 185—198.

ФТП, том 25, вып. 2, 1991

К ТЕОРИИ ФОРМЫ ЛИНИИ ГОРЯЧЕЙ ФОТОЛУМИНЕСЦЕНЦИИ ПОЛУПРОВОДНИКОВ

Меркулов И. А.

Экспериментальное и теоретическое исследование горячей фотолуминесценции (ГФЛ) показало, что эта методика позволяет получить весьма точную количественную информацию о виде спектра и волновых функций горячих фотоносителей, параметрах, определяющих их кинетику [1]. Так, например, измерение темпа деполяризации ГФЛ в магнитном поле позволяет определить значения времен жизни горячих носителей [2].

В последнее время появилась серия экспериментальных и теоретических работ, в которых значение этого времени оценивается из ширины линии горячей фотолуминесценции и энергетической зависимости высот пиков фоновых повторений [3, 4]. Далее будет показано, что на эти параметры спектра ГФЛ существенное влияние оказывает кулоновское взаимодействие рождающейся дырки и заряженного акцептора, возникающего после рекомбинации горячего электрона. Учет этого взаимодействия приводит к сдвигу пиков ГФЛ в сторону коротких длин волн, их ширина может увеличиться, а высота — уменьшиться в несколько раз.

Рассмотрим процессы, отвечающие за возникновение первого (бесфононного) пика горячей фотолуминесценции. Для простоты ограничимся случаем невырожденных зон, когда кинетическая энергия свободных электронов $[E_e(k)]$ и дырок $[E_h(k)]$ дается формулой $E_i(k) = \hbar^2 k^2 / (2m_i)$ и не зависит от их спинов.

При поглощении кванта накачивающего излучения в полупроводнике рождается электронно-дырочная пара с энергией, определяемой из закона сохранения: $E_g + E_e(k) + E_h(k) = \hbar\omega_e$. Здесь E_g — ширина запрещенной зоны, а $\hbar\omega_e$ — энергия поглощаемого фотона. Испуская оптические фононы, горячие электроны быстро релаксируют по энергии. Связанное с этим процессом характерное время жизни электронов в заданном состоянии составляет $\sim 10^{-13}$ с, что приводит к значительной неопределенности их энергии $E \sim 10$ мэВ. Незначительная часть горячих электронов успевает прорекомбинировать с равновесными локализованными на акцепторах дырками, не испустив ни одного фонона. Испускаемые при этом фотоны и дают бесфононный пик горячей фотолуминесценции.

Таким образом: 1) в исходном состоянии в кристалле имелась только дырка на акцепторе, 2) в промежуточном состоянии после поглощения фотона — дырка на акцепторе, свободный электрон и дырка с волновыми векторами k и $-k$ соответственно, 3) в конечном состоянии остаются заряженный акцептор и дырка в валентной зоне. Матричный элемент такого двухфотонного перехода дается формулой

$$M_{fi}^- = \int \frac{V_{jk}^i V_{ki}^e}{\epsilon_k - \hbar\omega_e} d^3k, \quad (1)$$

где

$$\epsilon_k = E_g + \hbar^2 k^2 / (2m_e) + \hbar^2 k^2 / (2m_h) - i\hbar(\Gamma_e + \Gamma_h + \Gamma_a) / 2 \quad (2)$$